7. 複合型露出柱脚のコンパクト形状に関する軸力曲げ耐力相関式の提案

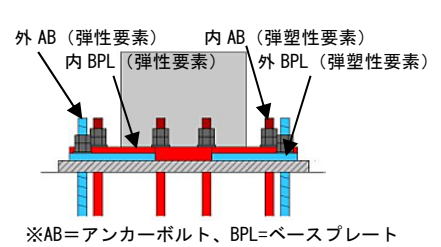
Proposal of Axial Force Bending Strength Interaction Equation for Compact Type of Composite Exposed-Type Column Bases

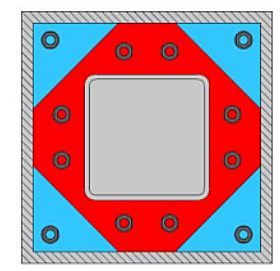
生島優花* 寺内将貴* 栁田佳伸* 新井佑一郎* 石鍋雄一郎**

一概要一

筆者らは、鉄骨造建物の柱脚部の部材として複合型露出柱脚の開発を行ってきた。既報 ¹⁾ では、通常タイプ形状について、提案した軸力曲げ耐力相関式の妥当性が、実験結果との対比において確認されている。その後、改良したコンパクトタイプ形状(図1)については、通常タイプに比べて構造性能の向上が実験により確認されている。ただし、ベースプレートの形状とアンカーボルトの配置が通常タイプと異なるため、その形状に合わせた軸力曲げ耐力相関式を提案する必要があった。

本報では、複合型露出柱脚のコンパクトタイプ形状について、本工法独自の軸力を考慮した曲げ耐力式を提案し、軸力曲げ耐力相関図(図2)を作成した。また、提案した軸力曲げ耐力相関図と既報²⁾の実験結果の比較を行い、その妥当性を示した。





5000 隆伏状態(提案式) -終局状態(提案式) ロ 降伏曲げ耐力(実験値) ■ 終局曲げ耐力(実験値) 3000 N(kN)2000 軸力 1000 135, -18 200 400 300 -1000 -2000 曲げ耐力 M(kN・m)

図1 複合型露出柱脚のコンパクトタイプ形状の構成概念図

図 2 コンパクトタイプ形状の 軸力曲げ耐力相関図

ー技術的な特長ー

複合型露出柱脚は、内側に配置されたアンカーボルト(弾塑性要素)とベースプレート(弾性要素)でアンカーボルト降伏型を形成し、外側に配置されたアンカーボルト(弾性要素)とベースプレート(弾塑性要素)によりベースプレート降伏型を形成する。

それぞれの降伏要素がほぼ同時に降伏するよう設計することで、その復元力特性モデルはアンカーボルト降伏型 (スリップ型) とベースプレート降伏型 (最大点指向型) を累加したものとなる (図3)。これにより、従来の露出柱脚ではスリップ型の復元力特性となるアンカーボルト降伏後の領域において、ベースプレート降伏要素により耐力負担が期待できる復元力特性 (図4) となることを特長としている。また、2回目以降の繰返し荷重下において、同様の復元力特性となることを確認している。

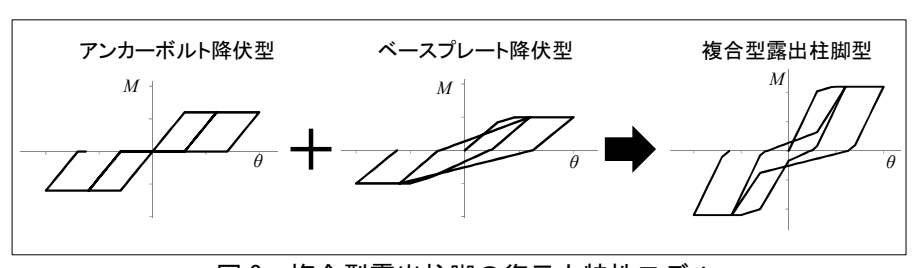


図3 複合型露出柱脚の復元力特性モデル

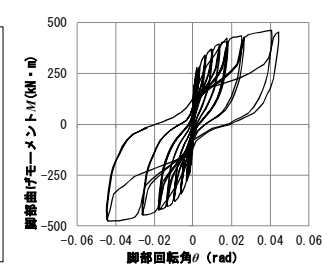


図4 複合型露出柱脚の 復元力特性

- 1) 新井佑一郎, 栁田佳伸, 寺内将貴, 石鍋雄一郎: 複合型露出柱脚の設計用曲げ耐力式の提案, 第15回日本地震工学シンポジウム論文集, pp.2439-2448, 2018.11
- 2) 寺内将貴, 柳田佳伸, 新井佑一郎, 石鍋雄一郎: 複合型露出柱脚のコンパクト型試験体に関する性能確認実験, 日本建築学会大会学術講演梗概集, pp.843-844, 2020.9

^{*}技術研究所 構造研究部 建築構造研究室 **日本大学

複合型露出柱脚のコンパクト形状に関する軸力曲げ耐力相関式の提案

Proposal of Axial Force Bending Strength Interaction Equation for Compact Type of Composite Exposed-Type Column Bases

ABSTRACT The composite type exposed column base is one type of exposed column base in steel frame building. In this paper, For the compact type of Composite Exposed-type column bases, the axial force bending strength interaction formula was proposed as a calculation method of the yield bending strength considering the axial force. The axial force bending strength interaction diagram calculated in proposal formulas was compared with previously reported experimental results, and its validity was shown.

Keywords:露出型柱脚,ベースプレート降伏型,アンカーボルト降伏型, N-M 相関図, 曲げ耐力 *Exposed-type column bases, Base plate yield type, Anchor bolt yield type,* N-M interaction diagram, Bending strength

1 はじめに

複合型露出柱脚りは、一体化された凸型のベースプレートにより構成されている。中央の厚い部分を内ベースプレート、外周の薄い部分を外ベースプレートと呼ぶ。内・外ベースプレートは、それぞれが内・外アンカーボルトで基礎に緊結されている。内ベースプレートと内アンカーボルトは、一般的な露出柱脚と同様の降伏形式(アンカーボルトが塑性変形する。一方、外ベースプレートは十分な強度を有する外アンカーボルトで基礎に固定されているため、地震時に外アンカーボルト緊結部と内ベースプレート端部の間に相対変位が生じ、外ベースプレートが塑性変形する。

このように、2種類の弾塑性要素(図1)は並列バネの関係となり、設計時には各要素の単純累加が可能となる。復元力特性モデルは、アンカーボルト降伏型およびベースプレート降伏型を累加した複合型露出柱脚特有の復元力特性となる(図2)。

構造設計を行う際には軸力を考慮した曲げ耐

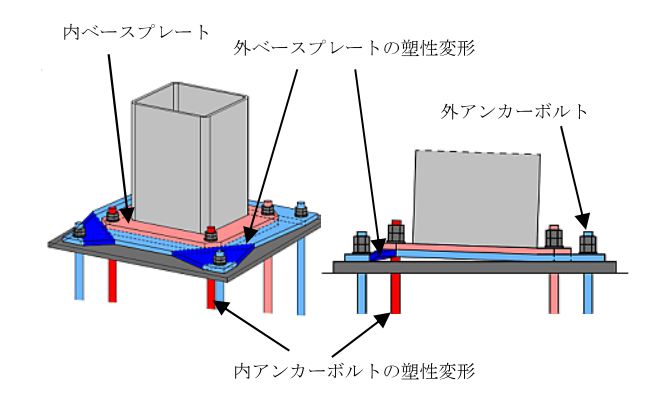


図1 複合型露出柱脚の地震時変形状況

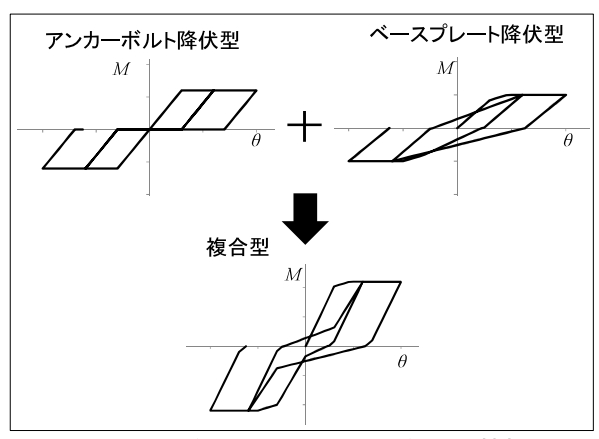


図2 複合型露出柱脚の復元力特性

^{*}技術研究所 構造研究部 建築構造研究室

^{**}日本大学短期大学部 准教授

力の相関図が必要となる。既報²⁾では、通常タイプ(図3)において鋼構造接合部設計指針³⁾や既往の研究⁴⁾を参考に軸力を考慮した曲げ耐力式を提示したがコンパクトタイプ⁵⁾(図4)は、ベースプレートの形状およびアンカーボルトの配置と本数が、通常タイプと異なるため、その形状に合わせた設計用曲げ耐力式を示す必要がある。

本稿では、複合型露出柱脚のコンパクトタイプ の N-M 相関式の提示を試みる。また、提案した N-M 相関式と既往の実験結果 5).6)を比較する。

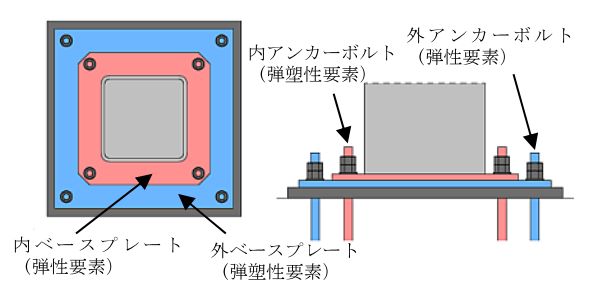


図3 複合型露出柱脚(通常タイプ)の概念図

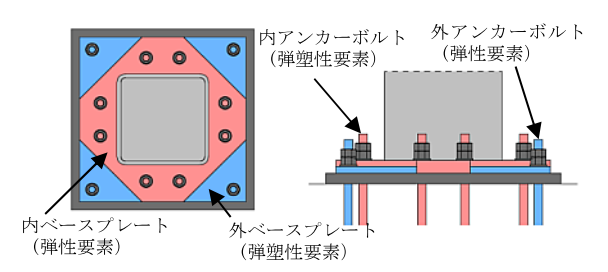


図4 複合型露出柱脚(コンパクトタイプ)の 概念図

2. 複合型露出柱脚の曲げ耐力

2.1.通常タイプの軸力を考慮した曲げ耐力式 (N-M 相関式)

一般的な露出柱脚における軸力を考慮した曲 げ耐力式は鋼構造接合部設計指針 ³⁾に示されて いるように、柱脚に作用する柱軸力、曲げモーメ ント、アンカーボルト引張軸力および基礎圧縮反 力の釣り合い式である。

一方、複合型露出柱脚の通常タイプでは、反力において引張側に内アンカーボルト引張軸力に加え、外ベースプレートに作用する力が追加されている。 N-M 相関式の提案では、一般的な N-M 相関式の形式から大幅な変更が生じないようにするために、外ベースプレートに作用する力を、

等価な外アンカーボルトの軸力に置き換える。これにより、複合型露出柱脚の通常タイプは鋼構造接合部設計指針 3 の曲げ耐力式を準用することが可能となった 2 。また、既往の研究 4 1 1 を参考に、圧縮側コンクリートの反力を矩形のストレスブロックとして仮定した。これにより降伏耐力、終局耐力ともに式の形は同一となるため、状態に応じて値を変化させることで耐力の算出を行うことができる。下記式を降伏耐力に適用する場合は、 N_c の算出にコンクリートの短期許容応力を、 T_g 、 d_g に降伏耐力に対応する値を用いる。終局耐力では想定する状態に応じた N_c 、 T_g 、 d_g を用いる。

終局状態は外ベースプレートの塑性変形領域が全塑性状態と定義しているため、外アンカーボルト群の引張軸力では、矩形断面定数である 1.5 を乗じた値を用いる。また、降伏時は内アンカーボルトのネジ部断面積を用いているが、設計指針²⁾を参考に終局時には内アンカーボルトの軸部断面積を用いる。

鋼構造接合部設計指針 ³⁾を参考に提案した通常タイプの降伏曲げ耐力式を**式(1.1)~(1.**

- 3) に、終局曲げ耐力式を式(1.4)~(1.
- 6) に示す。各部の寸法記号を図5に示す。

軸力を考慮した複合型露出柱脚の降伏曲げ耐力 Mby

$$M_{by} = \left(\frac{N_{c1}}{N} - 1\right) \cdot d_{g1} \cdot N$$

$$(N_{c1} \ge N > N_{c1} - T_{g1}) \qquad (1.1)$$

$$M_{by} = d_{g1} \cdot T_{g1} + \left(1 - \frac{N + T_{g1}}{N_{c1}}\right) \cdot \frac{B_1 - 2u}{2} \cdot \left(N + T_{g1}\right)$$

$$(N_{c1}-T_{g1} \ge N > -T_{g1})$$
 (1.2)

$$M_{bv} = d_{a1} \cdot \left(N + 2T_{a1} \right)$$

$$(-T_{g1} \ge N > -2T_{g1})$$
 (1.3)

軸力を考慮した複合型露出柱脚の終局曲げ耐力 Mbu

$$M_{bu} = \left(\frac{N_{c2}}{N} - 1\right) \cdot d_{g2} \cdot N$$

$$(N_{c2} \ge N > N_{c2} - T_{g2}) \qquad (1.4)$$

$$M_{bu} = d_{g2} \cdot T_{g2} + \left(1 - \frac{N + T_{g2}}{N_{c2}}\right) \cdot \frac{B_1 - 2u}{2} \cdot \left(N + T_{g2}\right)$$

$$(N_{c2}-T_{g2} \ge N > -T_{g2})$$
 (1.5)

$$M_{bu} = d_{g2} \cdot \left(N + 2T_{g2} \right)$$

 $(-T_{g2} \ge N > -2T_{g2})$ (1.6)

 T_n : 引張側内アンカーボルト群の短期許容耐

力

 $T_{i1}=n_{ti}$ $_{b}a_{ie}$ $_{a}\sigma_{yi}$

 n_{ti} : 引張側内アンカーボルト本数

baie: 内アンカーボルトネジ部の有効断面積

 $a\sigma_{yi}$: 内アンカーボルトの設計基準強度 (F値)

 $T_{ob1}^{2)}$: 外ベースプレートが弾性限に達した時点

での外AB群引張軸力

$$T_{ob1} = \frac{{}_{b}M_{y} \cdot n_{bo}}{n_{to} \cdot (d_{ci} + d_{s})}$$

$$= \frac{b \cdot B_o \cdot t_o^2 \cdot n_{bo}}{d \cdot c_m \cdot n_{to} \cdot (d_{ci} + d_s)} \cdot \int_b \sigma_{yo}$$

 $_{b}M_{y}^{2)}$: 外ベースプレート降伏型の基準降伏曲げ

耐力

n_{bo} : 弾塑性板の数

 n_{to} : 引張側外アンカーボルト本数

dci : 柱芯から圧縮側内ベースプレート突出部

中心間の距離

ds: 柱芯から外アンカーボルト芯までの距離

b : 想定降伏線の平均長さ

Bo: 外ベースプレートの幅

to: 外ベースプレート板厚

d: 弾塑性板の幅

cm : ベースプレート形状係数(=2.3)

 $b\sigma_{yo}$: 外ベースプレートの設計基準強度 (F値)

Tg1: 降伏曲げ耐力到達時における引張側内外

アンカーボルト群の合計軸力

 $T_{g1} = T_{i1} + T_{ob1}$

 d_{g1} : 降伏曲げ耐力時の引張側アンカーボルト

群重心位置

$$d_{g1} = \frac{T_{i1} \cdot d_t + T_{ob1} \cdot d_s}{T_{i1} + T_{ob1}}$$

dt: 柱芯から内アンカーボルト芯までの距離

Na: 内ベースプレート下の基礎コンクリート

の短期許容耐力

$$N_{c1} = \frac{2}{3} F_c \cdot (B_i \cdot D_i - 2u^2)$$

Fc : 基礎コンクリートの設計基準強度

 B_i : 内ベースプレート幅 (=内ベースプレート

せいD_i)

u : 隅切り幅

N : 柱軸力

T₂: 引張側内アンカーボルト群の軸部降伏耐

力

 $T_{i2}=n_{ti}$ bai a σ_{vi}

pai : 内アンカーボルト軸部の断面積

 $T_{ob2}^{2)}$: 外ベースプレートが全塑性状態に達した

時点での外AB群引張軸力

$$T_{ob2} = s \cdot \frac{{}_{b}M_{y} \cdot n_{bo}}{n_{to} \cdot (d_{ci} + d_{s})}$$

$$= s \cdot \frac{b \cdot B_o \cdot t_o^2 \cdot n_{bo}}{d \cdot c_m \cdot n_{to} \cdot (d_{ci} + d_s)} \cdot \int_{b} \sigma_{yo}$$

s: ベースプレート降伏型における降伏曲げ

耐力の割増率(=1.5)

Tg2: 終局曲げ耐力到達時における引張側内外

アンカーボルト群の合計軸力

 $T_{g2} = T_{i2} + T_{ob2}$

 d_{g2} : 終局曲げ耐力時の引張側アンカーボルト

群重心位置

$$d_{g2} = \frac{T_{i2} \cdot d_t + T_{ob2} \cdot d_s}{T_{i2} + T_{ob2}}$$

 N_{α} : 内ベースプレート下の基礎コンクリート

の終局耐力

$$N_{c2} = 0.85F_c \cdot (B_i \cdot D_i - 2u^2)$$

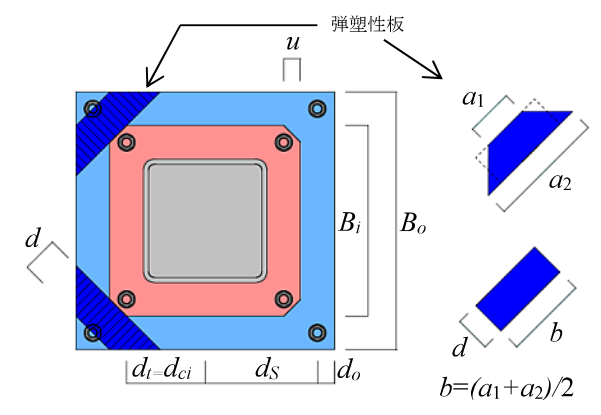


図 5 通常タイプの各部の寸法記号

提案した通常タイプ用の複合型露出柱脚の降 伏曲げ耐力式および終局曲げ耐力式と既往の実 験 5).6)で得た曲げ耐力を比較する。試験体の概要 を表1に、その結果を表2および図6~7に示す。 通常タイプの実験値の算出方法に関しては既報 1).6).8)を参照されたい。

計算値と実験値を比較した結果、圧縮軸力下

(予備実験、累加性能確認実験) および引張軸力下(全引張試験) ともに実験値との対応性は良好であり、提案した通常タイプの N-M 相関式は、適切な評価が可能であることを示した。

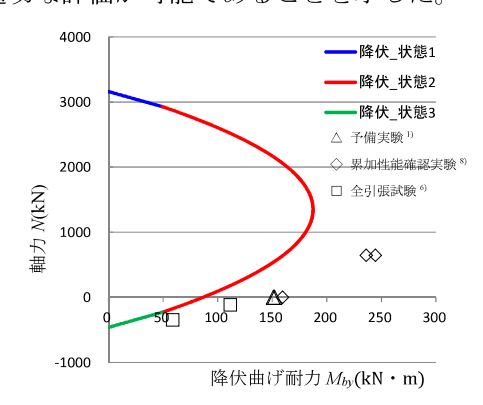


図 6 通常タイプの N-M_{by} 相関図 (降伏)

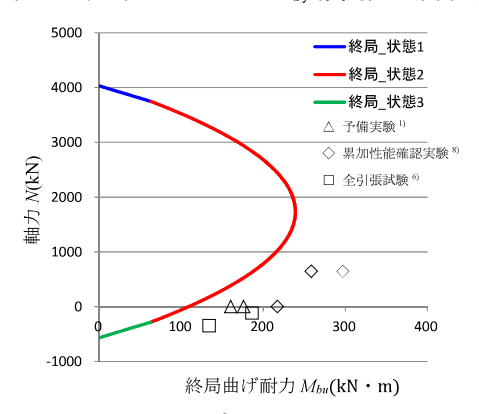


図7 通常タイプの N-Mbu 相関図 (終局)

2.2.コンパクトタイプの軸力を考慮した曲げ 耐力式 (N-M 相関式) の提案

コンパクトタイプ(**図4**)において、通常タイプの式をベースに軸力を考慮した降伏曲げ耐力式の提示を試みる。

加力方向に対して正側に配置されているアンカーボルトを圧縮側アンカーボルト、負側を引張側アンカーボルトとする。図8に示す通り引張側内アンカーボルトは立面図における柱の外側に位置している内アンカーボルトを柱の内側に位置している内アンカーボルト(B群)とした。そして、B群の内アンカーボルトを図9のように柱芯に配置されたアンカーボルトに合力として換算した。

通常タイプでは、内ベースプレートの隅切り幅uは内ベースプレート面積に対して微小であったことから、式(1.2)では内ベースプレート幅を B_i-2u とした。一方、コンパクトタイプでは、内ベースプレート形状が異なるため図 10 に示す通り台形部分の面積を矩形に置換して考えることとする。

表1 通常タイプの試験体概要

		- 1	~ ~	1 2 02 11-01	37(11 1770)		
試験名	試験体名	軸力 (kN)	内アンカ ーボルト	外アンカ ーボルト	内ベースプレート	外ベース プレート	柱
予備実験 ¹⁾	16N	0	SNR400	SD345	SN490C t=32mm	SS400	BCR295 t=12mm
1	16R	U	M22	D29	3144300 E-3211111	t=16mm	250 × 250mm
	複合型 A	645	ABR40	SD345	SN490C t=32mm	SS400	BCR295
累加性能確認実験 8)	複合型 B	0	M22	D29	SN490C t=40mm	t=16mm	t=16mm
	補強型	645	IVIZZ	DZ9	3N4900 L-40IIIII	L— I OIIIII	250 × 250mm
全引張試験 6)	N-116	-116	ABR400 M22	TS700 M30	SN490C t=40mm	SN400B t=16mm	BCR295 t=16mm
	N-348	-348			3144300 (-4011111		250 × 250mm

表 2 通常タイプの曲げ耐力式による計算結果と実験結果

試験体名	軸力	降伏曲げ耐力(kN・m)			終局曲げ耐力(kN・m)		
武鞅1本石	(kN)	計算値	実験値	実験値/計算値	計算值	実験値	実験値/計算値
16N	0	82. 4	150. 9	1.83	123. 6	160. 4	1. 30
16R	0	82. 4	152. 3	1.85	123. 6	175. 9	1. 42
複合型 A	645	163. 0	236. 1	1.45	244. 5	258. 3	1.06
複合型 B	0	82. 4	159. 4	1.93	123. 6	217. 1	1. 76
補強型	645	163. 0	244. 5	1.50	244. 5	297. 0	1. 21
N-116	-116	67. 9	111.7	1.65	101.8	186. 1	1. 83
N-348	-348	38. 9	58.8	1.51	58. 3	133. 7	2. 29

式は柱脚の応力状態を考慮した力の釣り合い式で、図11(a)~(e)に示すように軸力に応じて5つの範囲に場合分けしている。提案する降伏曲げ耐力の式を式(2.1)~(2.5)に示す。

$$M_{by} = \left(\frac{N_{c1}}{N} - 1\right) \cdot d_{g1} \cdot N$$

$$(N_{c1} \ge N > N_{c1} - T_{g1}) \qquad (2.1)$$

$$M_{by} = d_{g1} \cdot T_{g1} + \left(1 - \frac{N + T_{g1}}{N_{c1}}\right) \cdot \frac{B_i - 0.75u}{2} \cdot$$

$$(N+T_{a1})$$

$$(N_{c1}-T_{g1} \ge N > N_{c1}/2 - T_{g1})$$
 (2.2)

$$M_{by} = d_{g1} \cdot T_{g1} + \frac{B_i - 0.75u}{8} \cdot N_{c1}$$

$$(N_{c1}/2 - T_{g1} \ge N > N_{c1}/2 - T_{g1} - T_{m1})$$
 (2.3)

$$M_{by} = d_{g1} \cdot T_{g1} + \left(1 - \frac{N + T_{g1} + T_{m1}}{N_{c1}}\right) \cdot \frac{B_i - 0.75u}{2} \cdot$$

$$(N+T_{a1}+T_{m1})$$

$$(N_{c1}/2 - T_{g1} - T_{m1} \ge N > -T_{g1} - T_{m1})$$
 (2.4)

$$M_{by} = d_{g1} \cdot \left(N + 2T_{g1} + T_{m1} \right)$$

$$(-T_{g1}-T_{m1} \ge N > -2T_{g1}-T_{m1})$$
 (2.5)

 T_{m1} : 柱芯位置に設けられた内アンカーボルト

群の短期許容耐力

 $T_{m1}=n_{tm}$ $_{b}a_{ie}$ $_{a}\sigma_{yi}$

 n_{tm} : 柱芯位置に配置された内アンカーボルト 本数

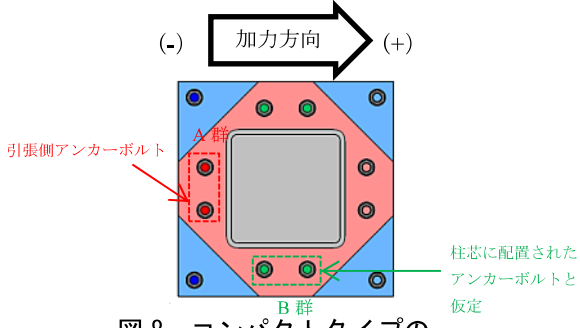
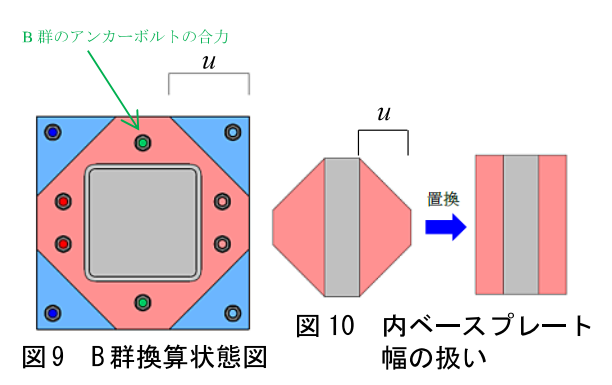


図 8 コンパクトタイプの アンカーボルトの扱い



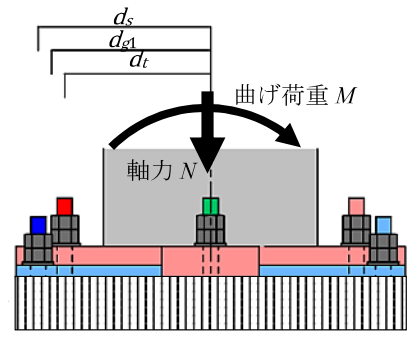


図 11(a) 式(2.1)の状態^で

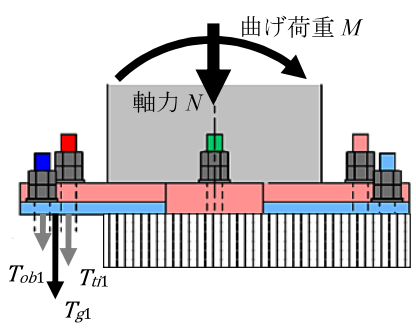


図 11(b) 式(2.2)の状態2

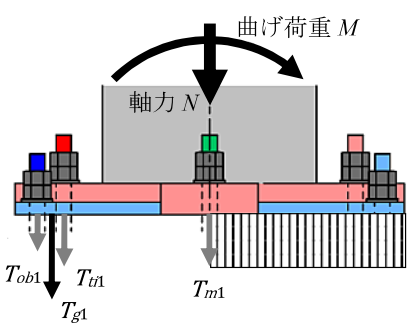


図 11(c) 式(2.3) の状態3

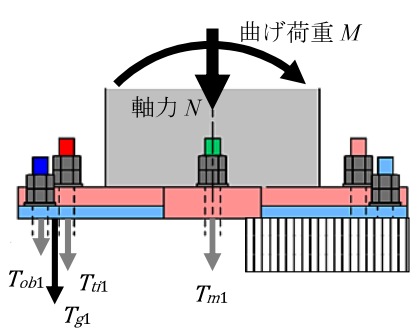


図 11(d) 式(2.4)の状態 4

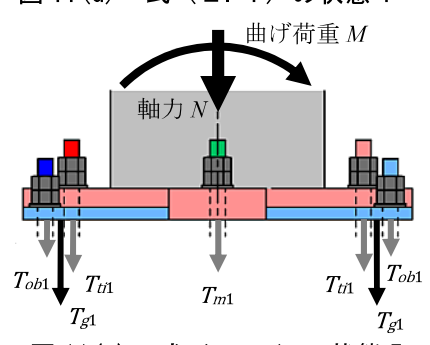


図 11(e) 式(2.5)の状態 5

同様の場合分けによって提案した終局曲げ耐力の式を式 $(2.6) \sim (2.10)$ に示す。

式 (2.1) \sim (2.10) を用いて作成したコンパクトタイプの N-M 相関図を図 12 に示す。軸力による付加曲げモーメントを考慮した複合型露出柱脚の終局曲げ耐力 M_{bu}

$$\begin{split} M_{bu} &= \left(\frac{N_{c2}}{N} - 1\right) \cdot d_{g2} \cdot N \\ &\qquad (N_{c2} \ge N > N_{c2} - T_{g2}) \end{split} \quad (2.6) \\ M_{bu} &= d_{g2} \cdot T_{g2} + \left(1 - \frac{N + T_{g2}}{N_{c2}}\right) \cdot \frac{B_i - 0.75u}{2} \cdot \end{split}$$

$$(N + T_{g2})$$

 $(N_{c2} - T_{g2} \ge N > N_{c2}/2 - T_{g2})$ (2.7)

$$M_{bu} = d_{g2} \cdot T_{g2} + \frac{B_i - 0.75u}{8} \cdot N_{c2}$$

$$(N_{c2}/2 - T_{g2} \ge N > N_{c2}/2 - T_{g2} - T_{m2}) \qquad (2.8)$$

$$\begin{split} M_{bu} &= d_{g2} \cdot T_{g2} + \left(1 - \frac{N + T_{g2} + T_{m2}}{N_{c2}}\right) \cdot \frac{B_i - 0.75u}{2} \cdot \\ & \left(N + T_{g2} + T_{m2}\right) \\ & \left(N_{c2}/2 - T_{g2} - T_{m2} \ge N > - T_{g2} - T_{m2}\right) \quad (2.9) \end{split}$$

$$M_{bu} = d_{g2} \cdot (N + 2T_{g2} + T_{m2})$$

$$(-T_{g2} - T_{m2} \ge N > -2 T_{g2} - T_{m2}) \quad (2.10)$$

 T_{m2} : 柱芯位置に設けられた内アンカーボルト 群の軸部降伏耐力

 $T_{m2} = n_{tm} ba_i a\sigma_{yi}$

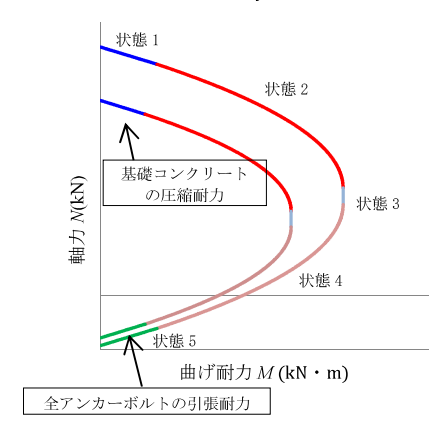


図 12 コンパクトタイプの N-M 相関図

2.3.提案した N-M 相関式と実験結果との比較

提案したコンパクトタイプ用の複合型露出柱 脚の曲げ耐力式と既往の実験5,6で得た降伏曲げ 耐力を比較する。試験体の概要を表3に、その結 果を表 4 および図 13~16 に示す。すべての試験 体に鋼製基礎を用いているが、提案した曲げ耐力 式には圧縮耐力として基礎コンクリートの強度 を用いる必要がある。そこで、実験で載荷した軸 力は柱降伏軸力に比べて0.2倍以下とそれほど大 きくないため、基礎部の圧縮耐力を過大に評価し ないよう Fc=24 のコンクリートと仮定して計算 を行った。また、材料強度 $a\sigma_{Vi}$ 、 $b\sigma_{Vi}$ は材料試験 値を代入し、提案した曲げ耐力式より計算値を算 出した。実験結果の降伏曲げ耐力 Mbv の評価は、 試験体の内アンカーボルトに貼り付けたひずみ ゲージが降伏ひずみを超過した時点の曲げモー メントとし、終局曲げ耐力 Mbu は、柱部材角が 1/50rad に達した点とした。

降伏曲げ耐力について、試験体 A の実験値は 271.1kN・m、試験体 B は 135.4 kN・m、試験体 C は 77.4 kN・m となった。計算値と実験値を比較 した結果、試験体 A の実験値は計算値の 1.16 倍、 試験体 B は 0.99 倍、試験体 C は 1.01 倍であった。

終局曲げ耐力について、試験体 A の実験値は 341.6kN・m、試験体 B は 234.4kN・m、試験体 C は 158.0kN・m となった。計算値と実験値を比較した結果、試験体 A の実験値は計算値の 1.22 倍、試験体 B は 1.43 倍、試験体 C は 1.53 倍であった。以上より、圧縮軸力下(試験体 A)および引張軸力下(試験体 B、試験体 C)ともに実験値との対応性は良好であり、提案したコンパクトタイプのN-M 相関式は、適切な評価が可能であることを示した。

表 3 コンパクトタイプの試験体概要

試験体名	軸力 (kN)	内 AB	外 AB	内 BPL	外 BPL	柱
試験体 A 5)	645	4DD 400	SD490 D29	HBL325B t=45mm	SN400B t=19mm	BCR295
試験体 B ⁶⁾	-181	ABR400	T0700 N00	CN4000 +-40	CN400D +-16	t=16mm
試験体 C 6)	-543	M22	TS700 M30	SN490C t=40mm	SN400B t=16mm	250 × 250mm

40	000 T				7久/4	北部 1
	-				──降伏_ ──降伏	状態2
30	000 +		_	-		状態3
					——降伏_	状態4
	000 +			-\	——降伏_	
Ź				•	■ 試験(本 A
₹ 10	000					
■力 M(kN)					•	
 	0 +		-		271, 645	
	ø	50 100	150	200 2	250 300	350
-10	000 📙					
-20	,,, L					
		降伏曲				
図	13	N-M _{by} 相厚	劉図	(試態	食体 A)	
400	00 T					
	-				──路伏_ ──路伏	
300	00 +				ーー降伏_	
				,	——降伏_	
200	00 📙			1	——降伏_	状態5
$\widehat{\mathbf{z}}$				1	■ 試験位	
₹ 100	00 ↓				▲ 試験(*C
■力 A(kN)	.					
盡	0	135	5, -181			_
	0	50 100	150 2	200 2	50 300	350
-100	nn 📙	77, -543				
100		•				
-200						
200	00	降伏曲	げ耐力	Much	(N • m)	
		11000		1 120/(1		
N-M	l _{bv} 框					式験体 C)
		は) 図関			よび፤	
	¶ _{by} 框				よびi _{終局}	状態1
50					よび ^{終局} ^{終局}	状態1 状態2
50	000				よび 終局 終局 終局	状態1 状態2 状態3
50 40 30	000				よび 終局 終局 終局 終局 終局	状態1 状態2 状態3 状態4
50 40 30	000				よび 終局 終局 終局 終局 終局	状態1 状態2 状態3 状態4 状態5
50 40 30	000				よび 終局 終局 終局 終局 終局	状態1 状態2 状態3 状態4 状態5
50 40 30	000				よび 終局 終局 終局 終局 終局	状態1 状態2 状態3 状態4 状態5
50 40 30 20	000			Bお	よび。 ※ 終局。 ※ 終局。 ※ 終局。 ※ 終局。	状態1 状態2 状態3 状態4 状態5
50 40 30	000	関図(試	験体	B #3	終局 終局 終局 終局 終局 終局 8 8 8 8 8 8 8 8 8 8	状態1 状態3 状態4 状態5 本A
型 WKN) 40 40 10 10 10 10 10 10 10 10 10 10 10 10 10	000	関図(試		Bお	よび。 ※ 終局。 ※ 終局。 ※ 終局。 ※ 終局。	状態1 状態2 状態3 状態4 状態5
50 40 30	000	関図(試	験体	B #3	終局 終局 終局 終局 終局 終局 8 8 8 8 8 8 8 8 8 8	状態1 状態3 状態4 状態5 本A
50 40 30 20 10 10	000	関図(試	験体	B #3	終局 終局 終局 終局 終局 終局 8 8 8 8 8 8 8 8 8 8	状態1 状態3 状態4 状態5 本A
型 WKN) 40 40 10 10 10 10 10 10 10 10 10 10 10 10 10	000	100	200	342, 300	後局 終局 終局 終局 終局 ● 試験(状態1 状態3 状態4 状態5 本A
50 40 30 20 20 10 -10	000	100 終局6	2000	342,	終局。 終局。 終局。 終局。 ● 試験(645 400	状態1 状態3 状態4 状態5 本A
50 40 30 (NXW CP型 10 -10 -20	0000	100	2000	342,	後局 終局 終局 終局 終局 終局 終 終局 (終格 (kN・m) (kN・m)	状態1 状状態2 状状態5 *AA
50 40 30 20 20 10 -10	0000	100 終局6	2000	342,	後局 終局 終局局 終局局 終試験((kN・m) (kN・m) (kN・m)	状態1 状状態2 状状態3 状状態5 *** ** ** ** ** ** ** ** ** ** ** ** *
50 40 30 (NXW CP型 10 -10 -20	0000	100 終局6	2000	342,	はよび。 終編 終編局。 終編局。 ※終編。 ■ はは N・m) (kN・m) (kN・m) (kN・m) (kN・m) (kN・m) (kN・m)	状態1 状態8 4 状態5 ** ** ** ** ** ** ** ** ** ** ** ** **
50 40 30 20 20 10 -10 -20 50 40	0000	100 終局6	2000	342,	はよび 終終終終終終終 ※終末 ※終末 ※終末 ※終末 ※終末 ※終末	状態1 状状態2 状状態5 ************************************
50 40 30 20 20 10 -10 -20 図 50 40 30	0000	100 終局6	2000	342,	はよび 終終 終終 終結 ※終末 ★400 ** **	状状状状
50 40 30 20 20 10 -10 -20 図 50 40 30	0000	100 終局6	2000	342,	はよび 終終 終終 終結 ※終末 ★400 ** **	状状状状状状状状状状状状状状状状状状状状状状状状状状状状状状状状状状状状状
50 40 30 20 20 10 -10 -20 図 50 40 30	0000	100 終局6	2000	342,	はよび 終終を終終を 1	状状状状状状状状状状状状状状状状状状状状状状状状状状状状状状状状状状状状状
50 40 30 20 20 10 -10 -20 図 50 40 30	0000	100 終局6	2000	342,	よび 終終終終 645 400 4	状状状状状状状状状状状状状状状状状状状状状状状状状状状状状状状状状状状状状
50 40 30 20 10 -10 -20 50 40 30 20 40	0000	100 終局6	2000	342,	よび 終終終終 645 400 4	状状状状状状状状状状状状状状状状状状状状状状状状状状状状状状状状状状状状状
50 40 30 20 20 10 -10 -20 図 50 40 30	0000	100 終局6	験体 1200 由げ耐力	342,	よび 終終終終 645 400 4	状状状状状状状状状状状状状状状状状状状状状状状状状状状状状状状状状状状状状
50 40 30 20 20 10 -10 -20 図 50 40 30	0000	100 終局B N-Mbu 相 B	2000 由げ耐刀 2200 ■	B お 342, 300 ケ <i>Mbu</i> (試動	よび 終終終終 645 400 4	状状状状状状状状状状状状状状状状状状状状状状状状状状状状状状状状状状状状状
50 40 30 20 20 10 -10 -20 図 50 40 30	0000	100 N-M _{bu} 相 I	2000 由げ耐刀 2200 ■	B お 342, 300 ケ <i>Mbu</i> (試 馬	よび 終終終終 終終終末 (kN・M) A) 局局局局局験 (kN・M) A) 局局局局局験験 (kN・M) A 局局局局局験験験	状状状状状状状 態態 500 状状状状状状状 500 状状状状状状 基態 態態 1 2 3 4 4 5 5 6 7 7 7 8 7 8 8 8 8 8 8 7 8 7 8 7 8 7 8
50 40 30 20 10 -10 -20 50 40 40 40 -10	0000	100 終局B N-Mbu 相 B	2000 由げ耐刀 2200 ■	B お 342, 300 ケ <i>Mbu</i> (試 馬	よび 終終終終 終終終末 (kN・M) A) 局局局局局験 (kN・M) A) 局局局局局験験 (kN・M) A 局局局局局験験験	状状状状状状状 態態 500 状状状状状状状 500 状状状状状状 基態 態態 1 2 3 4 4 5 5 6 7 7 7 8 7 8 8 8 8 8 8 7 8 7 8 7 8 7 8
50 40 30 20 10 -10 -20 40 30 40 30 20 10	0000	100 終局B N-M _{bu} 相B	験体 above ab	342, 300 分 <i>Muu</i> (よび 終終終終 終終終末 (kN・M) A) 局局局局局験 (kN・M) A) 局局局局局験験 (kN・M) A 局局局局局験験験	状状状状状状状 態態 500 状状状状状状状 500 状状状状状状 基態 態態 1 2 3 4 4 5 5 6 7 7 7 8 7 8 8 8 8 8 8 7 8 7 8 7 8 7 8

図 14

コンパクトタイプの実験結果と曲げ耐力式による計算結果

降伏曲げ耐力(kN・m) 終局曲げ耐力(kN・m) 軸力 試験体名 (kN) 計算値 実験値/計算値 計算値 実験値/計算値 実験値 実験値 試験体A 645 234.1 271.1 1.16 280.7 341.6 1.22 試験体 B -181 137.2 135.4 0.99 164.2 234.4 1.43 試験体 C -543 76.4 77.4 1.01 103.4 158.0 1.53

3. まとめ

本稿では、複合型露出柱脚のコンパクトタイプ に適用する軸力を考慮した曲げ耐力を提案した。 曲げ耐力式による計算値と、既往5,60の実験結果 を比較した結果、得られた知見を以下に示す。

- 1) 提案した曲げ耐力式による計算値と既往の実 験結果 5),6)を比較した結果、対応性は良好であ り、N-M 相関図の適用が可能であることを示 した。
- 2) 複合型露出柱脚のコンパクトタイプは、柱よ り外側の内アンカーボルトを引張側内アンカ ーボルトとし、柱より内側の内アンカーボルト を柱芯に合力として換算することで、従来の曲 げ耐力式を準用することは可能である。
- 3) 今後の課題として、B 群の内アンカーボルト を柱芯に合力として換算することについて、内 アンカーボルト本数との適用性を検討する必 要がある。

「参考文献]

- 1) 栁田佳伸, 寺内将貴, 新井佑一郎, 石鍋雄一郎:2種の 降伏メカニズムを有する複合型露出柱脚の履歴特性に関 する実験的研究, 日本建築学会大会学術講演梗概集, pp.1171-1174, 2016.8
- 2) 新井佑一郎, 栁田佳伸, 寺内将貴, 石鍋雄一郎:複合型 露出柱脚の設計用曲げ耐力式の提案,第15回日本地震工 学シンポジウム論文集, pp.2439-2448, 2018.11
- 3) 鋼構造接合部設計指針, 日本建築学会, 2021.2
- 4) 加藤勉, 佐藤邦昭, 佐伯俊夫, 中村嘉宏, 坂本光雄, 山 田俊一:鋳鋼製柱脚金物 HIBASE を用いた露出型柱脚 の研究, その6, 日本建築学会大会学術講演梗概集, pp.1225-1226, 1984.10
- 5) 寺内将貴, 栁田佳伸, 新井佑一郎, 石鍋雄一郎: 複合型 露出柱脚のコンパクト型試験体に関する性能確認実験, 日本建築学会大会学術講演梗概集, pp.843-844, 2020.9
- 6) 生島優花, 栁田佳伸, 新井佑一郎, 寺内将貴, 石鍋雄一 郎:複合型露出柱脚の引張軸力作用時の構造性能に関す る実験的研究,その1,実験概要と実験結果,日本建築 学会大会学術講演梗概集, pp.943-944, 2021.7
- 7) 九谷和秀, 河添隆司, 増田浩志: 鉄骨柱脚部の力学性状 に関する実験的研究,露出形式柱脚の降伏耐力について, その1, 日本建築学会九州支部報告, pp.329-332, 1986.3
- 8) 寺内将貴, 栁田佳伸, 新井佑一郎, 石鍋雄一郎: 複合型 露出柱脚の耐力・回転剛性の累加要素に関する実験的研 究, 日本建築学会大会学術講演梗概集, pp.1331-1332, 2018.9

図 16 N-Mbu 相関図 (試験体 B および試験体 C)